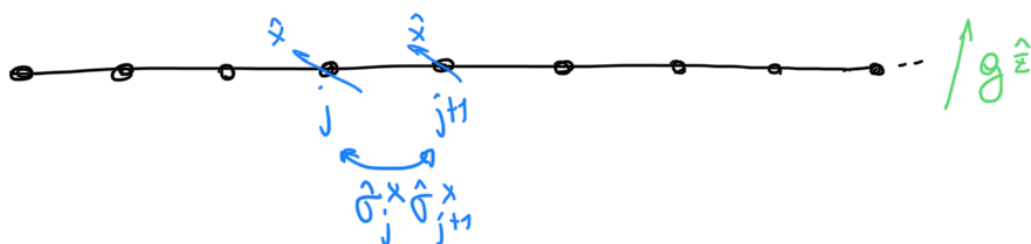


21/10/2021

Ising quantistico 1D, in campo trasverso

$$\hat{H}_{Is} = -J \sum_j \hat{\sigma}_j^x \hat{\sigma}_{j+1}^x - g \sum_j \hat{\sigma}_j^z$$

ortogonale alla direzione
dell'accoppiamento tra spin



$J > 0$ accoppiamento
ferromagnetico

$g > 0$ senza perdita
di generalità

→ trasformato in modello fermionico (Jordan Wigner)⁻¹

$$\hat{H}_f = -J \sum_j \left[(\hat{c}_j^\dagger \hat{c}_{j+1} + \hat{c}_{j+1}^\dagger \hat{c}_j) + (\hat{c}_j^\dagger \hat{c}_{j+1}^\dagger + \hat{c}_{j+1} \hat{c}_j) \right] - 2g \sum_j \left(\hat{c}_j^\dagger \hat{c}_j - \frac{1}{2} \right)$$

- Non conserva la magnetizzazione lungo \hat{z} : $[\hat{H}_{Is}, \hat{S}^z] \neq 0$
 $\hat{S}^z = \sum_j \hat{\sigma}_j^z$

(in linguaggio fermionico; $\hat{S}^z \rightarrow \hat{N}_f = \sum_j \hat{n}_j$ $[\hat{H}_f, \hat{N}_f] = 0$)
 $\hat{n}_j = \begin{pmatrix} 0 & 0 \\ 0 & 1 \end{pmatrix}$ $\hat{\sigma}_j^z = \begin{pmatrix} 1 & 0 \\ 0 & -1 \end{pmatrix}$

- MA conserva la parità fermionica / degli spin lungo \hat{z}

$$\hat{P} = \prod_j \hat{\sigma}_j^z \quad [\hat{H}_{Is}, \hat{P}] = 0$$

\hat{H}_f è quadratica negli op. fermionici

⇒ ci permette di diagonalizzarla in modo "analitico"
facendo un cambiamento della base su cui si scrivono
gli op. fermionici (trasformazione di Bogoliubov)

$$\vec{\Psi}^T = (\hat{c}_1^\dagger, \hat{c}_2^\dagger, \dots, \hat{c}_n^\dagger, \hat{c}_1, \hat{c}_2, \dots, \hat{c}_n) \quad \text{vettore } 2n\text{-dimensionale}$$

$$\hat{H}_f = \vec{\Psi}^T \mathbb{H} \vec{\Psi}$$

\mathbb{H} matrice $2n \times 2n$ (la cui dimensione scala
→ diagonalizzo \mathbb{H} linearmente in n)

$$\Rightarrow \hat{\tilde{H}}_f = 2 \sum_k \epsilon_k \left(\hat{b}_k^\dagger \hat{b}_k - \frac{1}{2} \right)$$

operatori di Bogoliubov che diagonalizzano \hat{H}_f
fermionici

$$\epsilon_k = J \sqrt{1 + \frac{g^2}{J^2} + \frac{2g}{J} \cos\left(\frac{2\pi k}{n}\right)}$$

$k: -\frac{n}{2}+1, -\frac{n}{2}+2, \dots, \frac{n}{2}$ (dipende dalla
parità di n
e da quella
del $n/2$)

- Lo stato fondamentale di \hat{H}_f è il vuoto rispetto agli operatori \hat{b}, \hat{b}^\dagger $\rightarrow |\Omega_b\rangle : \underline{\hat{b}_k |\Omega_k\rangle = 0 \forall k}$

$$E_{g.s.} = - \sum_k \epsilon_k$$

- gli operatori $\hat{b}_k^\dagger / \hat{b}_k$ creano/distrucono delle "quasi-particelle" (ne ho n , pari al numero di siti)
- gli stati eccitati sono costruiti a partire dal vuoto $|\Omega_b\rangle$ e creando quasi-particelle: $\dots \hat{b}_s^\dagger \hat{b}_1^\dagger |\Omega_b\rangle$

l'energia associata a quell'autostato è data dalla legge di dispersione ϵ_k

\Rightarrow "integrabilità" del modello di Ising 1D

\exists costanti del moto NON banali

$$\hat{n}_k = \hat{b}_k^\dagger \hat{b}_k : [\hat{H}, \hat{n}_k] = 0 \forall k$$

- in sistemi arbitrari NON integrabili, posso sempre trovare delle costanti del moto, ma sono "ovvie" $\hat{P}_j = |\psi_j\rangle\langle\psi_j|$
proiettori sui vari autostati \rightarrow $|\psi_j\rangle$ è autostato di \hat{H}
(in numero pari a 2^n) $[\hat{P}_j, \hat{H}] = 0 \Leftrightarrow \hat{H}|\psi_j\rangle = \epsilon_j |\psi_j\rangle$

\rightarrow distinguere numericamente tra un sistema "integrabile" e un sistema "non integrabile" è fattibile guardando le LEVEL SPACINGS STATISTICS (LSS)

$$\hat{H} \rightarrow \{E_j\}_{j=1 \dots 2^n} \text{ spettro energetico} \quad E_1 \leq E_2 \leq E_3 \leq \dots \leq E_{2^n}$$

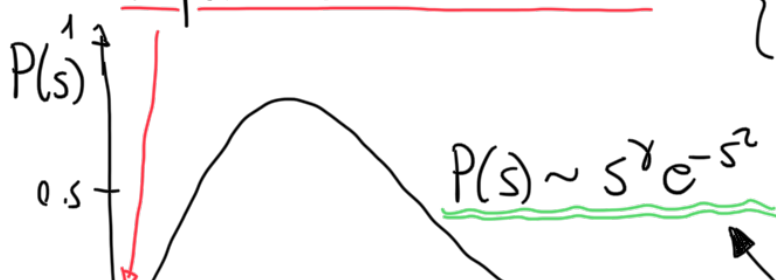
$$\delta E_j \equiv E_{j+1} - E_j \quad (j=1 \dots 2^n-1) \quad [\text{spaziature tra livelli adiacenti}]$$

\uparrow
istogramma dei $\delta E_j / \langle \delta E_j \rangle$ (normalizzati sul valor medio delle spaziature)

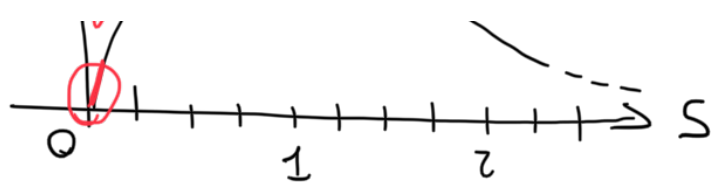


se il sistema NON è integrabile
 \Rightarrow repulsione tra i livelli

$$\left\{ \frac{\delta E_j}{\langle \delta E_j \rangle} \right\}_{j=1 \dots 2^n-1} \quad \text{non sono mai nulli}$$

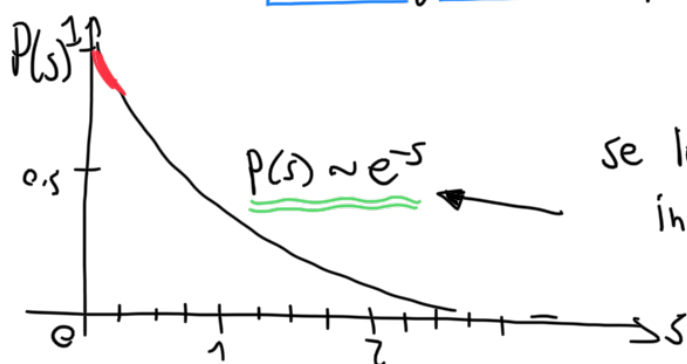


($\gamma > 0$ dipende da alcune proprietà di \hat{H})



statistica di Wigner-Dyson

- se il sistema è integrabile $\Rightarrow p(s)$ in $s=0$ è diversa da zero ed è grande



se le spaziatriche sono distribuite in modo random \Rightarrow statistica poissoniana

\Rightarrow level crossing
(moltissime degenerazioni)

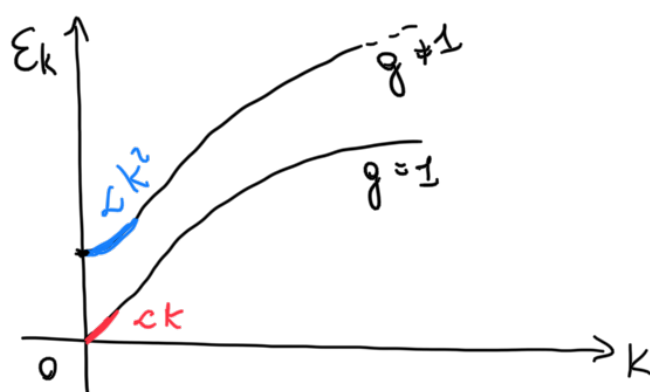
Torricelli e Ising

$$\hat{H}_T = \sum_k \epsilon_k (\hat{b}_k^\dagger \hat{b}_k - \frac{1}{2})$$

$$\epsilon_k = \sqrt{1 + g^2 - 2g \cos\left(\frac{2\pi k}{n}\right)}$$

il segno - è influente

($J=1$ fissa la scala di energie)

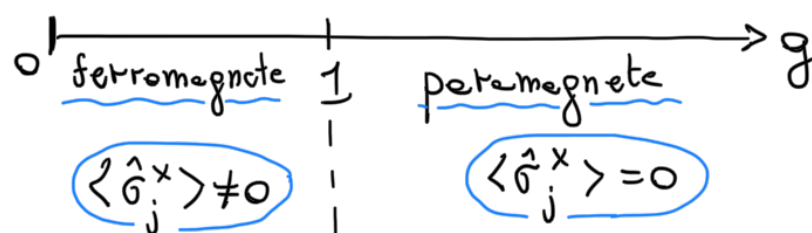


$$\epsilon_k \xrightarrow{k \rightarrow 0} \begin{cases} \epsilon_0 \neq 0 & \text{se } g \neq 1 \\ 0 & \text{se } g = 1 \end{cases}$$

- gap tra ground state e 1° eccitato è nullo se $g=1$ (nel limite $n \rightarrow +\infty$)
> 0 se $g \neq 1$

- $g=1$ punto critico di Ising 1D

\exists transizione di fase quantistica sul ground state (temperatura zero) al variare del parametro g



$$\hat{H}_{Is} = -\sum_j \hat{\sigma}_j^x \hat{\sigma}_{j+1}^x - g \sum_j \hat{\sigma}_j^z$$

$$\langle \psi_{gs} | \hat{\sigma}_j^x | \psi_{gs} \rangle = M_j^x$$

- Analicamente: $\hat{\sigma}_j^x \xrightarrow{\text{J.W.}} \hat{c}_j^\dagger \hat{c}_j \xrightarrow{\text{Bog.}} \hat{b}_k^\dagger, \hat{b}_k$

$|g.s.\rangle = |\Omega_0\rangle$ tale che:

$$\hat{b}_k |g.s.\rangle = 0$$

è più semplice

$$\text{fare } \lim_{T \rightarrow 0} \langle \hat{\sigma}_j^x \hat{\sigma}_{j+1}^x \rangle$$

$$\begin{pmatrix} \langle \hat{b}_k \hat{b}_k \rangle_0 = 0 \\ \langle \hat{b}_k^\dagger \hat{b}_k \rangle_0 = 0 \end{pmatrix}$$

\hat{H}_C è un sistema

teorema di Wick (di FERMIONI LIBERI) $\left(\begin{array}{l} \langle b_k^\dagger b_k \rangle_0 = 1 \\ \langle b_k b_k^\dagger \rangle_0 = 1 \end{array} \right)$

determinante di matrice antisimmetrica

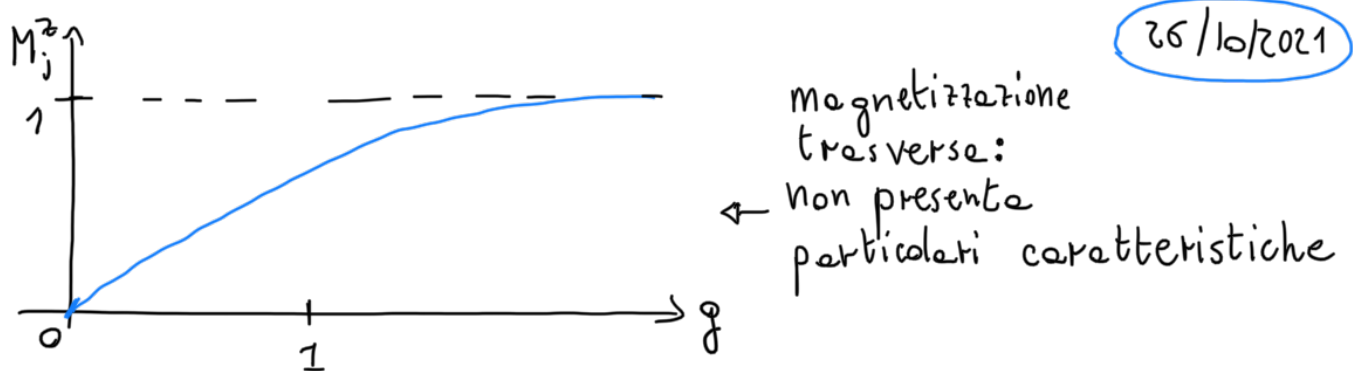
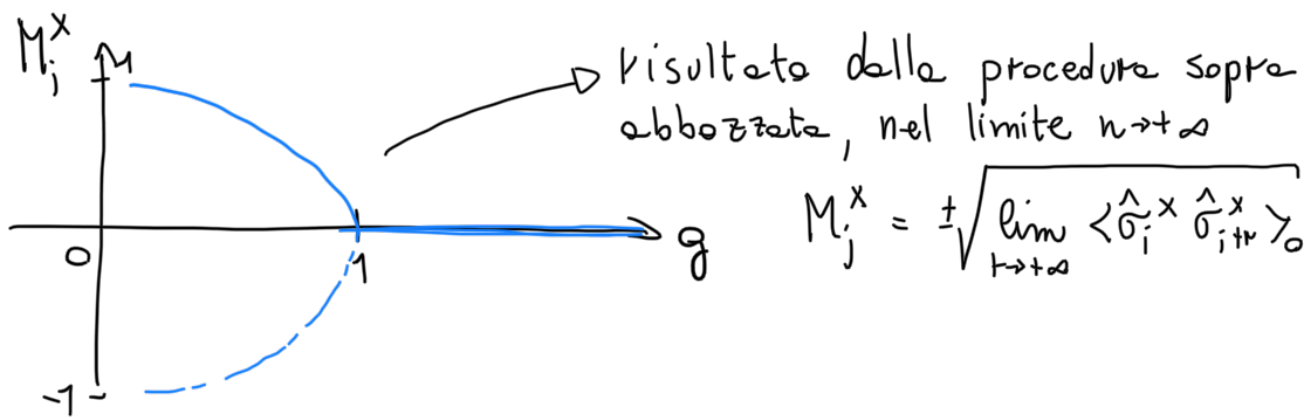
$$M_{je} = \langle \hat{c}_j^\dagger \hat{c}_e \rangle \text{ e altri blocchi simili, del tipo } \langle \hat{c}_j^\dagger \hat{c}_e^\dagger \rangle; \langle \hat{c}_j \hat{c}_e \rangle; \langle \hat{c}_j \hat{c}_e^\dagger \rangle$$

$$\forall j, e = 1 \dots n$$

Ulteriori dettagli in:

→ Sachdev, "Quantum Phase Transitions" (Cambridge, 1998)

→ Benenti, Casati, Rossini, Strini, "Principles of quantum computation and information: a comprehensive review", Chap. 11 (World Scientific)



→ Riprendiamo Ising 1D in campo trasverso:

$$\hat{H}_{Is} = -J \sum_j \hat{\sigma}_j^z \hat{\sigma}_{j+1}^z - g \sum_j \hat{\sigma}_j^x$$

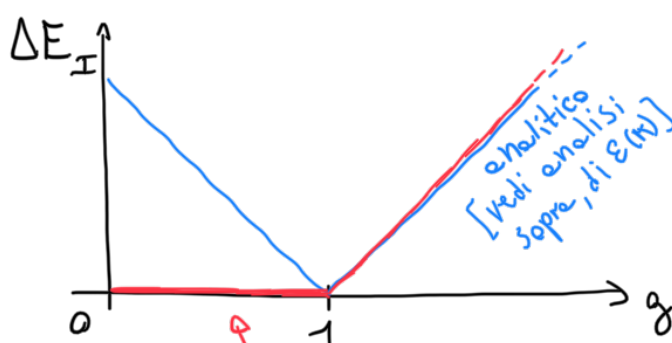
• Nota: scambio X con Z

Z: coupling

X: campo trasverso

● ENERGIE del g.s. e primo stato eccitato

analitico: $\Delta E_I = E_I - E_0 = 2|g-1|$ (cond. al contorno aperte)



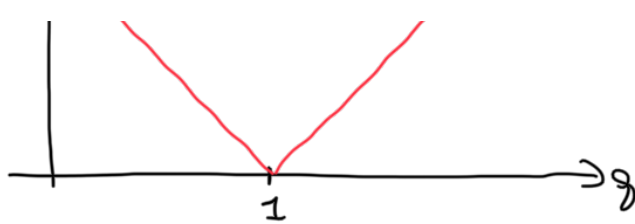
limite termodinamico
($N \rightarrow +\infty$)

realmente (tenendo conto di tutti i caveat...)

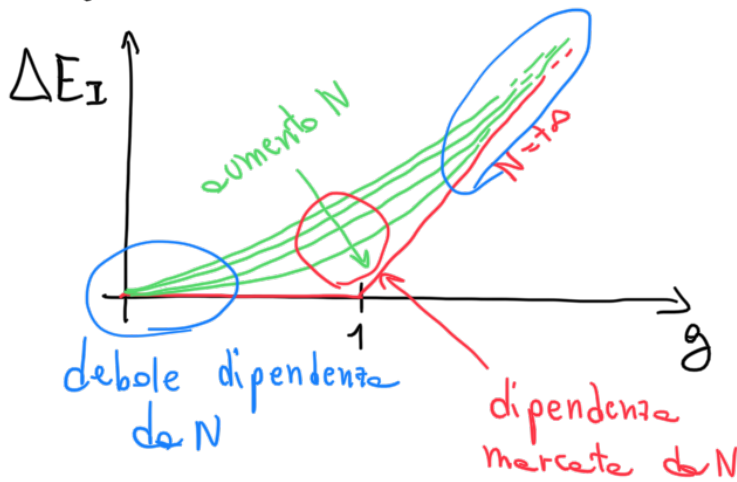
→ per $g < 1$ il ground state è degenere (2 stati degeneri)

$$\Delta E_I \uparrow$$

$$\Delta E_I = E_I - E_0$$



A taglia N finita si osserva:



se $g \neq 1$ ci aspettiamo dipendenza ESPOENZIALE da N

• $g < 1 \Rightarrow \Delta E_I \sim e^{-\alpha(g) \cdot N}$
 $\alpha(g)$ cresce allontanandosi da $g=1$

• $g > 1 \Rightarrow \Delta E_I \sim 2|g-1| + e^{-\tilde{\alpha}(g) \cdot N}$

• se $g=1$ ci aspettiamo dipendenza POLINOMIALE da N

$\Delta E_I \sim N^{-\bar{z}}$ ($\bar{z}=1$ per Ising 1D - esponente critico dinamico)

● Simmetria di Ising:

$$\hat{P}_z = \prod_{j=1}^N \hat{\sigma}_j^x$$

inversione di tutti gli spin $|1\rangle \rightarrow |0\rangle$
 $|0\rangle \rightarrow |1\rangle$

$[\hat{H}_{Is}, \hat{P}_z] = 0$
 $\hat{H}_{Is} = -J \sum_j \hat{\sigma}_j^z \hat{\sigma}_{j+1}^z - g \sum_j \hat{\sigma}_j^x$
 $\hat{P}_z = \prod_j \hat{\sigma}_j^x$
 (*)

(*) $[\hat{\sigma}_j^z \hat{\sigma}_{j+1}^z, \hat{\sigma}_1^x \hat{\sigma}_2^x \dots \hat{\sigma}_j^x \hat{\sigma}_{j+1}^x \dots] = 0$
 $\Leftrightarrow [\hat{\sigma}_j^z \hat{\sigma}_{j+1}^z, \hat{\sigma}_j^x \hat{\sigma}_{j+1}^x] = 0$

$[A, BC] = B[A, C] + [A, B]C$

$\hat{A} \equiv \hat{\sigma}_j^z \hat{\sigma}_{j+1}^z$
 $\hat{B} \equiv \hat{\sigma}_j^x$
 $\hat{C} \equiv \hat{\sigma}_{j+1}^x$

$\hat{\sigma}_j^x [\hat{\sigma}_j^z \hat{\sigma}_{j+1}^z, \hat{\sigma}_{j+1}^x] + [\hat{\sigma}_j^z \hat{\sigma}_{j+1}^z, \hat{\sigma}_j^x] \hat{\sigma}_{j+1}^x =$
 $= \hat{\sigma}_j^x \hat{\sigma}_j^z [\hat{\sigma}_{j+1}^z, \hat{\sigma}_{j+1}^x] + [\hat{\sigma}_j^z, \hat{\sigma}_j^x] \hat{\sigma}_{j+1}^z \hat{\sigma}_{j+1}^x = -i \hat{\sigma}_j^x (i \hat{\sigma}_{j+1}^y) + (i \hat{\sigma}_j^y) (i \hat{\sigma}_{j+1}^y) = 0$

$\hat{\sigma}_j^x \hat{\sigma}_j^z = \begin{pmatrix} 0 & 1 \\ 1 & 0 \end{pmatrix} \begin{pmatrix} 1 & 0 \\ 0 & -1 \end{pmatrix} = -i \hat{\sigma}_j^y$

$\hat{\sigma}_j^z \hat{\sigma}_j^x = \begin{pmatrix} 1 & 0 \\ 0 & -1 \end{pmatrix} \begin{pmatrix} 0 & 1 \\ 1 & 0 \end{pmatrix} = i \hat{\sigma}_j^y$

stati a magnetizzazione massime e minime

→ supponiamo che $|\psi_1\rangle$ e $|\psi_2\rangle$ siano i due autostati del sottospazio a energie minime (fondamentale) → vero per $N \rightarrow \infty$ e $g < 1$

$|\psi_1\rangle = \sum_n c_n |n\rangle$

$|\psi_2\rangle = \sum_n c_n |\bar{n}\rangle$

$|\bar{n}\rangle$ si ottiene da $|n\rangle$ invertendo gli spin lungo z

$|n\rangle = |\uparrow \uparrow \downarrow \uparrow \downarrow \downarrow \dots\rangle \Rightarrow |\bar{n}\rangle = |\downarrow \downarrow \uparrow \downarrow \uparrow \uparrow \dots\rangle$
 (*)

$$\langle \psi | \hat{M}^z | \psi \rangle \quad \text{dove } |\psi\rangle = \alpha |\psi_1\rangle + \beta |\psi_2\rangle$$

$$\begin{aligned} L &= (\langle \psi_1 | \alpha^* + \langle \psi_2 | \beta^*) \left(\sum_j \hat{\sigma}_j^z \right) (\alpha |\psi_1\rangle + \beta |\psi_2\rangle) = \\ &= |\alpha|^2 \sum_n |c_n|^2 \sum_j \langle n | \hat{\sigma}_j^z | n \rangle + |\beta|^2 \sum_{\bar{n}} |c_n|^2 \sum_j \langle \bar{n} | \hat{\sigma}_j^z | \bar{n} \rangle \\ &\quad + \alpha^* \beta \sum_n |c_n|^2 \sum_j \underbrace{\langle n | \hat{\sigma}_j^z | \bar{n} \rangle}_{=0} + \dots \underbrace{\langle \bar{n} | \hat{\sigma}_j^z | n \rangle}_{=0} \dots \end{aligned}$$

$$\sum_j \langle n | \hat{\sigma}_j^z | n \rangle = - \sum_j \langle \bar{n} | \hat{\sigma}_j^z | \bar{n} \rangle \quad \text{perché vale } (*)$$

$$\Rightarrow \langle \psi | \hat{M}^z | \psi \rangle = \sum_n |c_n|^2 \sum_j \langle n | \hat{\sigma}_j^z | n \rangle (|\alpha|^2 - |\beta|^2)$$

$$\text{se } \underline{\alpha = \pm \beta} \Rightarrow \underline{\langle \hat{M}^z \rangle = 0}$$

- se $\alpha = +\beta$ $\Rightarrow |\psi_s\rangle = \frac{1}{\sqrt{2}} (|\psi_1\rangle + |\psi_2\rangle) = \frac{1}{\sqrt{2}} \sum_n |c_n|^2 (|n\rangle + |\bar{n}\rangle)$
 \uparrow
stato simmetrico rispetto a $|\psi_1\rangle$ e $|\psi_2\rangle$

$$\underline{\hat{P}_z |\psi_s\rangle = |\psi_s\rangle} \quad \text{perché } \hat{P}_z |n\rangle = |\bar{n}\rangle ; \hat{P}_z |\bar{n}\rangle = |n\rangle$$

- se $\alpha = -\beta$ $\Rightarrow |\psi_A\rangle = \frac{1}{\sqrt{2}} (|\psi_1\rangle - |\psi_2\rangle)$ $\hat{P}_z |\psi_A\rangle = -|\psi_A\rangle$
 \uparrow
stato antisimmetrico

- Numericamente, a N finito, si trova sempre che $|\psi_A\rangle$ e $|\psi_s\rangle$ sono i due autostati quasi-degeneri di energia più bassa (autostati comuni ad \hat{H}_{IS} e \hat{P}_z)
 $\hookrightarrow M^z = 0$ su questi autostati

\rightarrow Per "rompere" la simmetria \hat{P}_z si può

1) • romperla fisicamente

\rightarrow aggiungo un termine in \hat{H} che fa in modo da non commutare più con \hat{P}_z

es: $\underbrace{-h \sum_j \hat{\sigma}_j^z}_{\text{rottura di simmetria}}$

Modello di Ising in campo trasverso + longitudinale:

$$\underline{\hat{H}_{IS, s.b.} = -J \sum_j \hat{\sigma}_j^z \hat{\sigma}_{j+1}^z - g \sum_j \hat{\sigma}_j^x - h \sum_j \hat{\sigma}_j^z} \quad \underline{[\hat{H}_{IS, s.b.}, \hat{P}_z] \neq 0}$$

fluttuazioni
quantistiche rottura
di simmetria

2) • Calcolare una quantità che è insensibile al verso degli spin lungo z

$$\tilde{M}_z = \sum_n |d_n|^2 \left(\sum_j \langle n | \hat{\sigma}_j^z | n \rangle \right) =$$

$$(|\psi\rangle = \sum_n d_n |n\rangle)$$

↑ prende il modulo

$$\left(\begin{array}{l} |n\rangle = |111\dots\rangle; |\bar{n}\rangle = |\downarrow\downarrow\downarrow\dots\rangle \\ \sum_j \langle n | \hat{\sigma}_j^z | n \rangle = - \sum_j \langle \bar{n} | \hat{\sigma}_j^z | \bar{n} \rangle \end{array} \right)$$

$$= \sum_n |d_n|^2 \left[|\alpha|^2 \left| \sum_j \langle n | \hat{\sigma}_j^z | n \rangle \right| + |\beta|^2 \left| \sum_j \langle \bar{n} | \hat{\sigma}_j^z | \bar{n} \rangle \right| \right] =$$

↑ sono uguali ↑

$$= \sum_n |d_n|^2 \cdot \underbrace{(|\alpha|^2 + |\beta|^2)}_1 \cdot \left| \sum_j \langle n | \hat{\sigma}_j^z | n \rangle \right| \neq 0$$

esempio banale, per $g=0$

$$\text{se } g=0 \quad \hat{H}_{Is} = -J \sum_j \hat{\sigma}_j^z \hat{\sigma}_{j+1}^z \Rightarrow \begin{array}{l} |\psi_1\rangle = |11\dots1\rangle \\ |\psi_2\rangle = |\downarrow\downarrow\dots\downarrow\rangle \end{array}$$

$$|\psi_A\rangle = \frac{1}{\sqrt{2}} (|1\dots1\rangle - |\downarrow\dots\downarrow\rangle); \quad |\psi_S\rangle = \frac{1}{\sqrt{2}} (|1\dots1\rangle + |\downarrow\dots\downarrow\rangle)$$

$$\begin{array}{l} \langle \psi_A | \hat{H}^z | \psi_A \rangle = 0 \\ \langle \psi_S | \hat{H}^z | \psi_S \rangle = 0 \end{array}$$

$$\tilde{M}^z = \sum_n |d_n|^2 \cdot \left| \sum_j \langle n | \hat{\sigma}_j^z | n \rangle \right| =$$

$$\begin{array}{l} \text{MA} \quad \langle \psi_1 | \hat{H}^z | \psi_1 \rangle = +1 \\ \langle \psi_2 | \hat{H}^z | \psi_2 \rangle = -1 \end{array}$$

$$= |d_{1\dots1}|^2 \cdot \left| \sum_j \langle 1\dots1 | \hat{\sigma}_j^z | 1\dots1 \rangle \right| +$$

← sovrapposizione generica

$$+ |d_{\downarrow\dots\downarrow}|^2 \cdot \left| \sum_j \langle \downarrow\dots\downarrow | \hat{\sigma}_j^z | \downarrow\dots\downarrow \rangle \right| = 1$$

$$|\psi\rangle = d_{1\dots1} |1\dots1\rangle + d_{\downarrow\dots\downarrow} |\downarrow\dots\downarrow\rangle$$

3) • Calcolare le f. di correlazione $C^{zz}(\tau) = \langle \psi | \hat{\sigma}_j^z \hat{\sigma}_{j+\tau}^z | \psi \rangle$

$$\lim_{\tau \rightarrow \infty} C^{zz}(\tau) = (\langle \psi | \hat{\sigma}_j^z | \psi \rangle)^2 = (M^z)^2$$

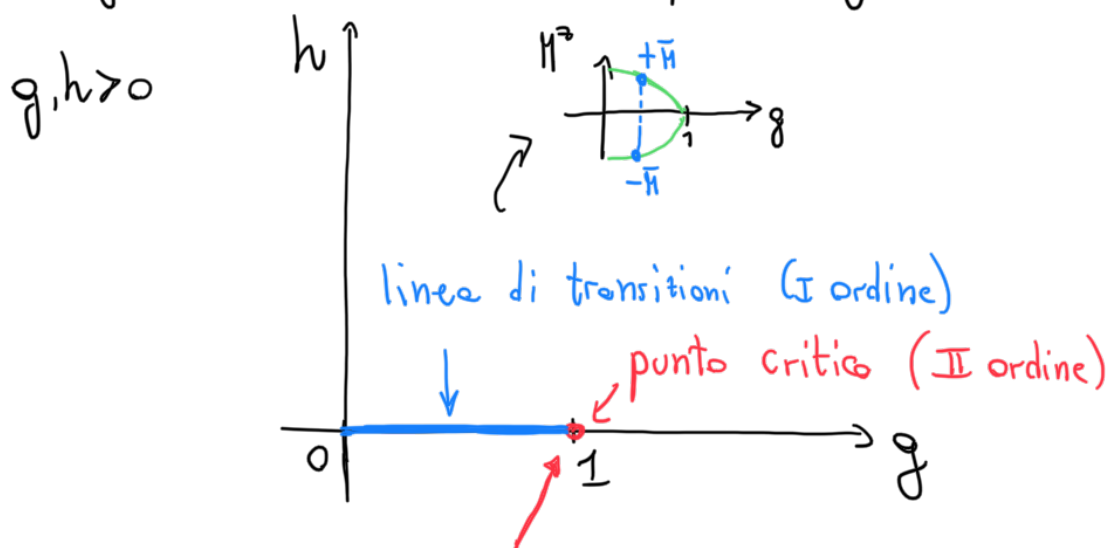
Approfondimenti • Cabrera, Jullien, Phys. Rev. B 35, 7002 (1987)
• Kitaev, cond-mat/0010440

$$\rightarrow \hat{H}_{Is, s.b.} = -J \sum_j \hat{\sigma}_j^z \hat{\sigma}_{j+1}^z - g \sum_j \hat{\sigma}_j^x - h \sum_j \hat{\sigma}_j^z$$

il modello NON è più integrabile!

⇒ interessante dal punto di vista numerico

● Diagramma di fase nel piano $g-h$ (Temperature nulla)



associato a esponenti critici
uguali al modello classico 2D

(quantum-to-classical
mapping
 d quantum $\leftrightarrow (d+1)$ classico)

Valgono le stesse considerazioni
di Ising classico 2D (fenomeni critici)

Temperature (classica) \leftrightarrow campo trasverso g (quantistico)

→ Finite-size scaling

• es: suscettività magnetica: $\chi = \frac{\partial M^z}{\partial h} \Big|_{h \rightarrow 0}$

numerically si fa
il rapporto incrementale
con Δh piccolo

$$\chi \sim |t|^{-\gamma} \sim \xi^{\gamma/\nu} \quad (\xi \sim |t|^{-\nu})$$

$$t \equiv g - 1$$

e tagli finite $\xi \sim N \Rightarrow \chi_{\max} \sim N^{\gamma/\nu}$ (al punto critico
efficienza - N finito)

→ vicino a N : $\chi(g, N) = N^{\gamma/\nu} \cdot \phi(N, \xi)$

↑
andamento di χ intorno al picco χ_{\max}

intorno al punto critico conta solo il rapporto N/ξ

$$\chi(g, N) = N^{\gamma/\nu} \phi(N/\xi) = N^{\gamma/\nu} \tilde{\phi}(|t| \cdot N^{1/\nu}) = N^{\gamma/\nu} \phi(|g-1| N^{1/\nu})$$

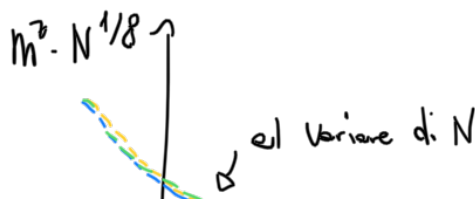
\uparrow $\xi \sim |t|^{-\nu}$ \uparrow assunto di variare g

Ising 2D classico:
(classe di universalità
a cui appartiene
Ising 1D quantistico)

$\gamma = 7/4$; $\nu = 1 \Rightarrow \chi(g, N) \sim N^{7/4} \phi(|g-1| \cdot N)$

analogamente: $m^z(g, N) \sim N^{-\beta/\nu} \cdot \mathcal{M}(|g-1| N^{1/\nu}) \sim N^{-1/8} \mathcal{M}(|g-1| \cdot N)$

Ising 2D classico: $\beta = 1/8$

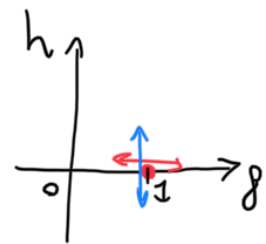


$$\frac{1}{g-1} \cdot N$$

Qui abbiamo variato g (equivalente di T)

ma potremmo variare anche h

punto critico: $(g, h) = (1, 0)$



↓
fisso $g=1$ e prendo $\tau \equiv h - 0 = h$

(prima avevo $t = g-1$)

campo longitudinale - symmetry breaking

$$\left[\begin{array}{l} m^z(h, N) \sim N^{-\beta h} \cdot \mathcal{M}(\tau \cdot N^{\gamma_\tau}) \\ m^z(g, N) \sim N^{-\beta/r} \cdot \mathcal{M}(t \cdot N^{\gamma_t}) \end{array} \right. \quad \begin{array}{l} \gamma_\tau = \frac{15}{8} \quad (RG) \\ \gamma_t = 1 \end{array}$$

↑
campo trasverso - fluttuazioni quantistiche

- Oltre alla suscettività magnetica ordinaria $\left(\chi = \frac{\partial M^z}{\partial h} \Big|_{h \rightarrow 0} \right)$

si può analizzare la suscettività

rispetto al campo trasverso delle magnetizzazione trasverse: $\chi^x = \frac{\partial M^x}{\partial g}$

$$H = - \sum_j \hat{\sigma}_j^z \hat{\sigma}_{j+1}^z - \underbrace{g \sum_j \hat{\sigma}_j^x}_{\text{classicamente } g \rightarrow T} - h \sum_j \hat{\sigma}_j^z$$

$$C_v = -T \frac{\partial^2 F}{\partial T^2} \quad \text{classicamente}$$

(fluttuazioni quantistiche
↓
fluttuazioni termiche)

$$\updownarrow \\ C_v = g \chi^x \quad \text{quantisticamente}$$

- Cioè χ^x è strettamente connessa col calore specifico, che per $g \rightarrow 1, h \rightarrow 0$ presenta un picco e diverge logaritmicamente in N (analogia col modello di Ising 2D classico)
 $d=0$ - esponente critico

4/11/2021

→ Scaling attorno a una transizione del I ordine (quantistica)

(Campatrin, Nespola, Polissetto, Vicari, PRL 113, 070402 (2013))

h campo longitudinale $\rightarrow K = h N^{\frac{d-1}{2}}$ (II ordine)
 g " trasverso

$$K_{\pm} = \frac{E_h(N)}{\Delta_0(N)} \quad (\text{I ordine})$$

$E_h(N)$: variazione di energia associata alla presenza di
 | un campo longitudinale piccolo

$E_h(N) \sim 2m_0 h N^d$ di dimensione fisica del sistema ($d=1$)
 $m_0 = (1-g^2)^{1/8}$ parametro d'ordine ed $h=0$

$$\hat{H} = - \sum_j \hat{\sigma}_j^z \hat{\sigma}_{j+1}^z - g \sum_j \hat{\sigma}_j^x - h \sum_j \hat{\sigma}_j^z \quad \text{dove } 0 < g < 1$$

$|h| < 1$

$\Delta_0(N)$: gap tra E_{eccitata} e E_{gs} per $h=0$
 \uparrow
 se $g < 1$ chiude esponenzialmente in N

$m^z(|g| < 1, h) \sim m_0 \cdot \mathcal{M}(K_{\pm})$

- Per studiare la dinamica, introduco un tempo risaleto

$$\mathcal{T} = t \cdot \Delta_0(N)$$

$m^z(|g| < 1, h_i, h_f, t) \sim m_0 \mathcal{M}(K_{\pm,i}, K_{\pm,f}, \mathcal{T})$

\uparrow prima del quench \uparrow dopo il quench